



دانشگاه صنعتی اصفهان  
دانشکده عمران

## تعیین ضریب کمانش ورق‌های منحنی شکل تحت تاثیر بارهای طولی و جانبی با روش نوار محدود

پایان نامه کارشناسی ارشد عمران - سازه

بهداد تیموری غرب

استاد راهنما  
دکتر مجتبی ازهري

تابستان ۱۳۸۵

## فهرست مطالب

صفحه	عنوان
هشت	فهرست مطالب.....
۱	چکیده.....
	<b>فصل اول: مقدمه و کلیات</b>
۲	۱-۱ کلیاتی پیرامون کمانش ورق ها.....
۷	۲-۱-گذری بر مطالعات گذشته.....
۷	۲-۱-۱-روش های دقیق تحلیل کمانش.....
۷	۲-۱-۲-روش های عددی تحلیل کمانش ورق های مستوی.....
۱۰	۲-۱-۳-روش های عددی تحلیل کمانش ورق های استوانه ای.....
۱۱	۱-۳-اهداف تحقیق حاضر.....
	<b>فصل دوم : معادلات کمانش ورق های استوانه ای و روابط انرژی</b>
۱۲	۱-۲-مقدمه.....
۱۳	۲-۲-معادلات تغییر شکل و انرژی کرنشی یک المان پوسته ای.....
۱۳	۲-۲-۱-روابط مربوط به جابجایی و تغییر مکان.....
۱۷	۲-۲-۲-روابط مربوط به انرژی کرنشی المان پوسته ای.....
۱۸	۲-۳-فرم کلی تغییر شکل ها و معادلات تعادل یک ورق استوانه ای.....
۲۳	۴-۲-معادله تعادل ورق استوانه ای تحت بار متقارن محوری.....
۲۵	۵-۲-کمانش متقارن ورق های استوانه ای تحت اثر فشار محوری یکنواخت.....
۲۷	۶-۲-حل عمومی کمانش ورق استوانه ای تحت اثر فشار محوری.....
۳۰	۷-۲-تعیین نیروهای کمانشی برای یک ورق منحنی شکل.....
	<b>فصل سوم: کلیاتی در مورد حل به روش نوار محدود</b>
۳۳	۱-۳-مقدمه.....
۳۴	۲-۳-ماتریس سختی المان نوار $[k]$ .....
۳۶	۲-۳-۱-ماتریس سختی غشائی (داخل صفحه) $[k_{uv}]$ .....
۳۸	۲-۳-۲-ماتریس سختی خمی $[k_{w\theta}]$ .....

<u>عنوان</u>	
	۳-۳-ماتریس هندسی $[k_g]$ .....
<u>صفحه</u>	
۴۰	.....

	فصل چهارم: تحلیل پایداری ورق‌های منحنی شکل به روش نوار محدود
۴۴	۴-۱-مقدمه.....
۴۵	۴-۲-تعیین نیروهای کمانشی ورق منحنی شکل.....
۴۵	۴-۲-۱-مشخصات هندسی و فیزیکی مسئله.....
۴۶	۴-۲-۲-تابع جابجایی.....
۴۷	۴-۲-۳-تعیین تابع شکل هرمیتی مربوط به راستای عرضی نوار منحنی شکل.....
۵۰	۴-۲-۴-انرژی پتانسیل ورق.....
۵۰	۴-۲-۵-انرژی ارجاعی و ماتریس سختی ورق منحنی شکل.....
۵۲	۴-۲-۶-انرژی پتانسیل و ماتریس هندسی ورق منحنی شکل.....
۵۶	۴-۲-۷-تعیین نیروهای کمانشی ورق منحنی شکل.....
۵۷	۴-۳-نتایج.....
۵۸	۴-۳-۱-بررسی رفتار ورق‌های مستوی.....
۵۸	الف-بررسی صحت نتایج.....
۶۱	۴-۳-۲-بررسی رفتار ورق‌های منحنی شکل.....
۶۱	الف-بررسی صحت نتایج.....
۶۲	ب-ورق منحنی با شرایط تکیه گاهی SSSS.....
۶۵	ج-ورق منحنی با شرایط تکیه گاهی SCSC.....
۶۷	۴-۴-بررسی رفتار ورق منحنی در شرایط تکیه گاهی مختلف.....
۶۸	۴-۵-اثر مقابل بارهای طولی و جانبی.....

	فصل پنجم: نتیجه‌گیری و پیشنهادات
۷۰	۵-۱-جمع بندی مباحث.....
۷۱	۵-۲-پیشنهاداتی برای کارهای بعدی.....
۷۳	مراجع.....

## چکیده

هدف اصلی این تحقیق بررسی کمانش موضعی صفحات منحنی شکل تحت تاثیر بارهای طولی و جانبی داخل صفحه است. در این صفحات علاوه بر بارهایی که در امتداد طولی وجود دارد، بارهای جانبی نیز وارد می‌گردد که باعث پیچیده‌تر شدن کمانش این صفحات می‌شود. با توجه به اینکه حل مسائل صفحات با روش‌های تحلیلی برای بعضی شرایط تکیه‌گاهی و بارگذاری معمولاً سخت و طولانی است، استفاده از روش‌های عددی مناسب‌تر به نظر می‌رسد. روش نوار محدود را می‌توان یکی از روش‌های عددی کارا برای تحلیل مسائل خمش و پایداری صفحات دانست. انواع مختلف این روش عبارتند از: روش نوار محدود عادی، نوار محدود مختلط و نوار محدود اسپلاین. برای تحلیل پایداری صفحات منحنی شکل تحت بارهای طولی و جانبی از روش نوار محدود معمولی با استفاده از المان نوار منحنی شکل استفاده شده است. در المان نوار منحنی شکل ۴ خط گره در نظر گرفته شده است و در هر خط گره ۴ درجه آزادی انتقالی و ۱ درجه آزادی دورانی است، وجود دارد. در این روش از توابع مثلثاتی در جهت طولی و از توابع شکل هرمیتی در جهت عرضی، برای درونیابی مقادیر گره‌ای استفاده می‌گردد. روش نوار محدود به خاطر داشتن یک درجه آزادی کمتر در گره‌ها و داده‌های ورودی کمتر، به روش المان محدود برتری دارد و سریع‌تر به جواب همگرا می‌شود. برای بعضی حالات بارگذاری و تکیه‌گاهی نمودارهایی از ضرایب کمانش موضعی و اندرکنش بارهای طولی و جانبی بحرانی صفحات منحنی شکل تنظیم شده است. از این ضرایب کمانش می‌توان در طراحی پوسته‌های دایروی، لوله‌های جدار نازک و سایر سازه‌های مربوط استفاده کرد.

## فصل اول

### مقدمه و کلیات

#### ۱-۱- کلیاتی پیرامون کمانش ورق‌ها

ورق‌ها اجزای سازه‌ای مسطح یا منحنی شکلی هستند که ضخامت آنها در مقایسه با دیگر ابعادشان کوچکتر است. به لحاظ همین هندسه خاص بسیاری از اجزاء مورد بررسی در مهندسی، در دسته‌بندی ورق‌ها قرار می‌گیرند. یکی از مهم‌ترین مباحث مورد توجه در این قبیل سازه‌ها، مسئله پایداری آنها می‌باشد. مطالعات و پژوهش‌های زیادی توسط دانشمندان در طی سال‌های اخیر روی مبحث پایداری ورق‌ها به عنوان یک عضو سازه‌ای با اهمیت، انجام شده است. بررسی کمانش کلی و کمانش موضعی مهم‌ترین بخش از مبحث پایداری ورق‌ها می‌باشد. پدیده‌ی کمانش موضعی زمانی رخ می‌دهد که سازه تحت نیروهای فشاری داخل صفحه قرار گیرد. تا زمانی که نیروهای فشاری داخل صفحه به حد کمانش نرسیده‌اند افزایش بار فقط باعث تغییر شکل ورق به صورت محوری می‌شود ولی وقتی نیروهای فشاری به یک حد بحرانی معین می‌رسند ورق به طور ناگهانی

تغییر شکل می‌دهد که به این تغییر شکل ناگهانی کمانه کردن و یا به اصطلاح کمانش گفته می‌شود. این تغییر شکل باعث نقصان در مقاومت ورق در برابر نیروهای فشاری و کاهش ظرفیت باربری ورق می‌شود. وقوع این پدیده در ورق‌ها امر مطلوبی نمی‌باشد. برای رفع این نقص راه کارهای متعددی وجود دارد که از جمله راه کارهای مورد استفاده می‌توان به استفاده از سخت‌کننده‌های عرضی، افزایش ضخامت ورق و استفاده از مقاطع عرضی خاص اشاره کرد. طبیعتاً استفاده از صفحات ضخیم در طراحی سازه‌ها راه حل مناسبی برای رفع مشکل کمانش موضعی نیست زیرا ممکن است باعث غیر اقتصادی شدن طرح گردد. به عنوان مثال استفاده بهینه از مصالح در تعیین ضخامت ورق همراه با ایجاد فرم هندسی خاص در مقطع عرضی ورق از راه حل‌های مناسب برای جلوگیری از پدیده‌ی کمانش موضعی می‌باشد.

کمانش ورق‌ها در حالت کلی به کمانش ستون‌ها شبیه می‌باشد. با توجه به دو بعدی بودن، ورق قابلیت جذب نیروهای داخل صفحه بیشتری نسبت به ستون دارا است و قادر به تحمل بارهای بیشتر از بارهای کمانشی خود می‌باشد. برای بدست آوردن بارهای کمانشی ورق‌ها از معادلات دیفرانسیل جزئی (پاره‌ای) استفاده می‌شود. در حالی که معادلات دیفرانسیل مربوط به بررسی رفتار ستون‌ها، معادلات دیفرانسیل معمولی می‌باشند. در این قسمت برای بیان بهتر و مقایسه معادلات کمانش مربوط به ستون‌ها و ورق‌ها اشاره‌ای به این معادلات می‌شود. صفحات از دو نظر با ستون متفاوت می‌باشند. از دیدگاه ریاضی تفاوت اصلی بین صفحه و ستون این است که کمیاتی نظیر تغییر شکل جانبی و لنگر خمشی در ستون تابع یک متغیر مستقل ( $x$ ) هستند ولی در صفحه تابعی از دو متغیر مستقل ( $y, x$ ) می‌باشند. در نتیجه رفتار یک صفحه به وسیله معادلات دیفرانسیل جزئی مشخص می‌شود. در صورتی که برای بررسی رفتار ستون از معادلات دیفرانسیل معمولی استفاده می‌شود. تفاوت مهم دیگر صفحه و ستون در کمانش این دو آشکار می‌شود. برای یک ستون، کمانش توانایی آن را برای تحمل بار اضافی خاتمه می‌دهد. بنابراین بار بحرانی بار گسیختگی ستون می‌باشد در حالیکه صفحات قادر هستند که بار محوری بیش از بار بحرانی را تحمل کنند.

در سال ۱۹۱۰ تیموشنکو<sup>۱</sup> برای اولین بار با به کار گیری رابطه انرژی زیر توانست بار کمانش یک ستون دو سر مفصل را بطور دقیق بدست آورد.

$$\Delta W = \Delta U \quad (1-1)$$

که  $\Delta W$  تغییرات کار خارجی و  $\Delta U$  تغییرات انرژی کرنشی سیستم می‌باشد.

علت دقیق بودن جوابی که او بدست آورد انتخاب تابع شکل واقعی (تابع سینوسی) برای شکل کمانش ستون بود. یک قاعده کلی در مورد مقادیر بار کمانش محاسبه شده توسط روش انرژی وجود دارد و آن بزرگتر بودن بار کمانش محاسبه شده نسبت به بار کمانش واقعی است. وقتی که تابع تغییر شکل درنظر گرفته شده غیر واقعی باشد با بکار بردن چنین تابعی در واقع سیستم مجبور شده است که بر خلاف میل ذاتی و طبیعی خود تغییر شکل بدهد. این تغییر شکل اجباری از نظر فیزیکی مفهومی جز سخت‌تر کردن سیستم ندارد و سیستم سخت شده بدیهی است که بار کمانش بزرگتری خواهد داشت. معادله دیفرانسیل حاکم بر رفتار تیر را می‌توان به صورت زیر بیان کرد:

$$EI \frac{d^4 v}{dx^4} + P \frac{d^2 v}{dx^2} = 0 \quad (2-1)$$

$(EI)$ ، سختی خمشی تیر،  $v$ ، جابجایی در امتداد قائم تیر و  $P$ ، بار محوری وارد بر ستون می‌باشد.

با تعمیم حالت یک بعدی به دو بعدی معادلات حاکم بر رفتار ورق‌ها را می‌توان بیان کرد که در زیر به اختصار بیان شده است.

به طور کلی صفحات به سه دسته تقسیم می‌شوند:

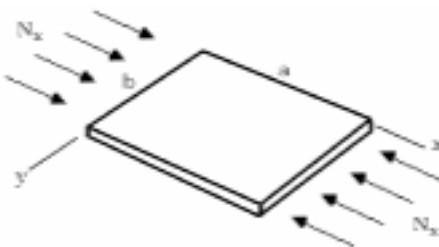
۱-صفحات نازک: ضخامت این نوع از صفحات در مقایسه با سایر ابعاد صفحه کوچک می‌باشد. در این نوع صفحات تغییر شکل برشی جانبی در مقایسه با تغییر شکل خمشی قابل صرف نظر می‌باشد.

۲-صفحات ضخیم: ضخامت این نوع از صفحه‌ها در برابر سایر ابعاد صفحه و تغییر شکل برشی جانبی در مقایسه با تغییر شکل خمشی قابل ملاحظه می‌باشد.

۳-غشاها: صفحاتی با ضخامت اندک هستند، به‌طوری که مقاومت خمشی آنها بسیار کم می‌باشد و بار جانبی به صورت نیروهای درون صفحه‌ای وارد می‌شود.

پایداری ورق‌ها معمولاً بر اساس تئوری ورق‌های نازک بررسی می‌شود. با درنظر گرفتن یک ورق مستطیلی تحت بارگذاری نشان داده شده در شکل ۱-۱ می‌توان معادله دیفرانسیل حاکم بر رفتار ورق را به صورت زیر بیان کرد [۱].

$$D \nabla^4 w + N_x \frac{\partial^2 w}{\partial x^2} = 0 \quad (3-1)$$



شکل ۱-۱: ورق مستطیلی با تکیه گاه مفصلی در چهار طرف

$D$ ، ضریب صلیت ورق و  $w$ ، جابجایی در امتداد قائم ورق می‌باشد.

$\nabla^4$ ، اپراتور تعادلی دو بعدی ورق می‌باشد که به صورت زیر بیان می‌شود.

$$\nabla^4 = \frac{\partial^4}{\partial x^4} + 2 \frac{\partial^2}{\partial x^2} \frac{\partial^2}{\partial y^2} + \frac{\partial^4}{\partial y^4} \quad (4-1)$$

$N_x$ ، بار محوری وارد بر ورق می‌باشد.

مسئله کمانش صفحه با تکیه گاه‌های مفصلی در چهار طرف را می‌توان با استفاده از معادله دیفرانسیل بیان شده در رابطه (۳-۱) حل کرد دلیل حل سریع و آسان این مسئله خاص با استفاده از معادله دیفرانسیل ورق، اعمال شرایط مرزی هندسی (مربوط به تغییر مکان) و شرایط مرزی استاتیکی (مربوط به نیروها و لنگرها) در معادله با حدس صحیح از تابع تغییر شکل صفحه در هنگام کمانش می‌باشد. مسائل متنوعی در پایداری صفحات وجود دارد که شامل بارهای مختلف مثل بارهای برشی و خمشی و شرایط مرزی گوناگون نظیر لبه‌های آزاد، گیردار و یا لبه‌های بطور نسبی گیردار در برابر چرخش و صفحات با اشکال هندسی مختلف می‌باشند. در اکثر موارد فوق تعیین جواب‌های دقیق معادله دیفرانسیل حاکم بر مسئله با مشکلات محاسباتی نظیر همگرائی کند سری‌ها و یا معادلات بفرنج مواجه می‌شود. این مسائل باعث جایگزینی حل عددی مسائل پایداری به جای روش‌های دقیق شده است.

علیرغم شباهت بسیار نزدیک معادلات دو بعدی و یک بعدی، محاسبات مربوط به مسئله دو بعدی بسیار پیچیده‌تر از مسئله یک بعدی می‌باشد. برای این منظور برای حل معادله از فرم تغییر شکل ورق از نوع سینوسی به صورت زیر استفاده می‌گردد.

$$w(x, y) = A_{mn} \sin\left(\frac{n\pi x}{a}\right) \sin\left(\frac{m\pi y}{b}\right) \quad (5-1)$$

با جایگذاری عبارت فوق در معادله حاکم بر رفتار ورق در رابطه (۳-۱) می‌توان نیروی کمانشی ورق ( $N_{cr}$ ) را به صورت زیر بدست آورد.

$$N_{cr} = \pi^2 D \left( \frac{a}{n} \right)^2 \left[ \left( \frac{n}{a} \right)^2 + \left( \frac{m}{b} \right)^2 \right]^2 \quad (6-1)$$

برای محاسبه مقدار بار بحرانی، معادله (۶-۱) باید نسبت به مقادیر  $n, m$  مینیمم گردد. با دقت در رابطه فوق می‌توان فهمید که برای بدست آوردن مقدار مینیمم این رابطه باید  $m=1$  و پارامتر  $n$  دارای مقادیر مختلف باشد. با مساوی یک، قرار دادن مقدار  $m$  و با فرض متغیر بودن پارامتر  $n$  رابطه (۶-۱) به صورت زیر قابل بازنویسی است.

$$N_{cr} = \frac{\pi^2 D}{b^2} \left[ n \left( \frac{b}{a} \right) + \frac{1}{n} \left( \frac{a}{b} \right) \right]^2 \quad (7-1)$$

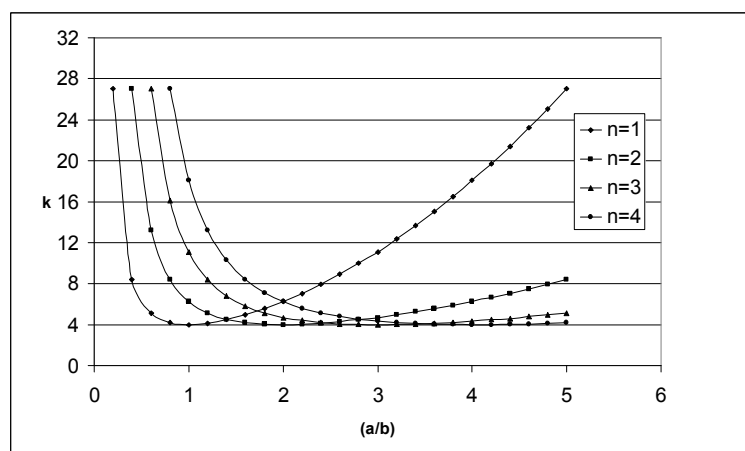
و یا به عبارت دیگر:

$$N_{cr} = k \frac{\pi^2 D}{b^2} \quad (8-1)$$

که در آن  $k$  ضریب بار کمانشی بوده و به صورت زیر تعریف می‌شود:

$$k = \left[ n \left( \frac{b}{a} \right) + \frac{1}{n} \left( \frac{a}{b} \right) \right]^2 \quad (9-1)$$

این رابطه نشان می‌دهد که مقدار بار بحرانی به نسبت  $a/b$  بستگی دارد. نمودار ۱-۱ تغییرات ضریب بار کمانشی  $k$  بر حسب مقدار  $a/b$  برای یک ورق مستطیلی با شرایط تکیه‌گاه مفصلی در چهار طرف و تحت بارگذاری محوری را نشان می‌دهد که برای مقادیر مختلف  $n$  بدست آمده است.



نمودار ۱-۱: تغییرات ضریب کمانش موضعی ورق  $k$  بر حسب  $a/b$

## ۱-۲-۱- گذری بر مطالعات گذشته

### ۱-۲-۱- روش‌های دقیق تحلیل کمانش

به جرات می‌توان اویلر را بنیان‌گذار علم پایداری سازه‌ها نامید زیرا برای اولین بار در سال ۱۷۴۴ اولین تحلیل صحیح پایداری یک ستون را بر اساس روش تعادل خنثی ارائه نمود و مودهای کمانش تحت این مودها را محاسبه کرد [۱]. اولین بررسی‌های چشمگیر در مورد ورق‌ها در سال‌های ۱۸۰۰ انجام گرفته است. ایده‌های اصلی توسط افرادی چون ناویر، کریشهف و لوی ارائه شد [۱]. لاگرانژ در سال ۱۸۱۱ و ناویر در سال ۱۸۲۰ معادله خیز جانبی ورق تحت اثر بار گسترشده عمود بر میان صفحه را بررسی کرد [۲]. شاید بتوان شروع جدی مبحث پایداری صفحات را مربوط به تحقیقات برایان دانست که در سال ۱۸۹۱ میلادی توانست با استفاده از سری‌های سینوسی مضاعف فوریه مسئله کمانش یک صفحه مستطیلی متکی بر تکیه‌گاه‌های مفصلی را حل نماید که معمولاً نخستین راه حل مسئله کمانش صفحات قلمداد می‌شود [۲].

### ۱-۲-۲- روش‌های عددی تحلیل کمانش ورق‌های مستوی

سیستم‌های مهندسی به دو دسته پیوسته و ناپیوسته تقسیم می‌شوند. در واقع مسائل مکانیک سازه محیط‌هایی پیوسته دارای تعداد نامحدودی درجه آزادی و شرایط مرزی پیچیده همراه با خواص غیریکنواخت مواد هستند، به این معنی که تعداد نامحدودی متغیر در فرم معادله دیفرانسیل بر رفتار سیستم‌های پیوسته حکم‌فرما است. حل دقیق برای معادلات دیفرانسیل فقط برای سیستم‌های ساده با شرایط مرزی ساده امکان پذیر است. با اعمال روش‌های عددی قابل قبول بر پایه اصول مهندسی، قادریم راه حل مناسب را برای مسائل پیچیده مهندسی بیابیم. هدف روش‌های عددی تبدیل یک سیستم پیوسته به تعداد محدودی سیستم ناپیوسته است. برای حل معادلات دیفرانسیل به روش‌های عددی این معادلات با روش‌هایی نظری روش‌های تغییراتی یا مانده وزنی فرموله می‌شوند. روش‌های مانده وزنی برای اکثر مسائل علمی مهندسی کاربرد دارند، اما روش‌های تغییراتی بیشتر برای مسائل مکانیک جامدات مناسب هستند.

پس از فرموله کردن نوبت حل به وسیله روش‌های عددی موجود می‌توان به روش تفاضل‌های محدود، روش اجزاء محدود و روش نوار محدود اشاره کرد. در روش‌های عددی مانند اجزاء محدود از تعدادی المان برای تقریب زدن پاسخ استفاده می‌شود، این اجزاء به وسیله گره‌هایی روی مرزهایشان به هم متصل می‌شوند. روش اجزاء محدود در مورد مسائل مکانیک جامدات براساس تقریب جابجایی به وسیله

تخمین تغییرمکان گره‌ها، اعمال می‌شود این روش در نهایت منجر به حل یک دستگاه معادلات جبری می‌شود. با این روش حل بسیاری از مسائل پیچیده مکانیک سازه میسر گردیده است. استفاده از روش اجزاء محدود در جهت تحلیل پایداری ورق‌ها از آن جمله است. محققین بسیاری از جمله گالاگر و پادلوگ در سال ۱۹۶۳<sup>۱</sup> والاس، مارتین، کاپر و هارتز در سال ۱۹۶۶ و گالاگر و پرزمنسکی در سال ۱۹۶۸ از روش اجزاء محدود جهت تحلیل کمانش ورق استفاده کردند.<sup>[۳]</sup>

ورق‌ها اجزای سازه‌ای منتشری شکل هستند و از نظر تکیه‌گاهی هم ساده‌اند، در حالیکه روش اجزاء محدود با قابلیت زیادی که دارد ما را به حل مسائلی که چه به لحاظ شرایط مرزی و چه به لحاظ هندسی پیچیده هستند، قادر می‌سازد. اما کاربرد این روش برای تحلیل مستلزم صرف وقت زیاد جهت آماده‌سازی اطلاعات ورودی و تفسیر خروجی‌ها و در نتیجه صرف هزینه زیادی است. بهمین علت روش نوار محدود به عنوان نوع خاصی از اجزاء محدود مورد توجه پژوهشگران قرار گرفت. در این روش حجم اطلاعات به‌طور قابل ملاحظه‌ای کم می‌شود. در عین حال دقت در حد مطلوب قابل حصول است. در روش نوار محدود سازه به نوارهایی تقسیم می‌شود که لبه‌های انتهایی این نوارها منطبق بر مرز سازه است. نوارها به وسیله خطوط گرهی که موازی با مرزهای طولی هستند در امتداد طول به یکدیگر متصل می‌شوند. در بعضی حالات نیز ممکن است از خطوط گرهی داخلی برای رسیدن به یک نوار با مرتبه بالاتر استفاده شود. درجات آزادی در یک خط گرهی از نوار، معمولاً کمتر از درجات آزادی در یک گره از المان می‌باشد و در کل تعداد درجات آزادی به طور قابل ملاحظه‌ای کمتر از روش نوار محدود است. در نتیجه در این روش تعداد معادلات، پنهانی نوار ماتریس سختی و حجم خروجی‌ها کمتر است.

طی سی سال اخیر، بسیاری از محققین از روش نوار محدود برای تحلیل کمانش ورق استفاده کرده‌اند. در این راستا از روش‌های مختلف نوار محدود استفاده شده است.

این روش‌ها عبارتند از:

۱- روش نوار محدود معمولی<sup>۱</sup> (FSM)

۲- روش نوار محدود مختلط<sup>۲</sup>

۳- روش نوار محدود اسپلاین<sup>۳</sup>

۱ -Finite Strip Method

۲ -Complex Finite Strip Method

۳ -Spline Finite Strip Method

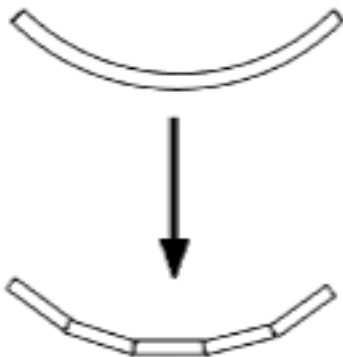
اولین باری که در روش‌های عددی ماتریس هندسی برای حل مسائل کمانش مطرح گشت و برای تحلیل کمانش سازه‌ها مورد استفاده قرار گرفت توسط ترنر و همکاران او<sup>[۴]</sup> در سال ۱۹۶۰ بود. او این مفهوم را برای سازه‌های خرپایی و همچنین صفحات با المان‌های مثلثی تحت تنش غشائی مورد استفاده قرار داد. تا اواخر دهه شصت روش‌های المان محدود برای حل کمانش کاملاً فرموله شده و مقالات زیادی در این زمینه ارائه شد. به موازات پیشروی روش‌های عددی حل کمانش ورق‌ها، روش نوار محدود نیز توسعه یافت. روش نوار محدود معمولی همان روشی است که توسط چونگ<sup>[۵]</sup> ارائه شد. در این روش به علت فرض رفتار سینوسی برای ورق در یک جهت و در نتیجه تبدیل مسئله از دو بعدی به تک بعدی، ابعاد مسئله کوچک شده و سریعاً همگرا می‌شود. البته فرض توابع سینوسی فقط برای شرایط مرزی مفصلی و یا برای ورق‌های طویل، که شرایط مرزی اهمیت خود را از دست می‌دهند، مناسب است.

پرزمینسکی<sup>[۶]</sup> در سال ۱۹۷۳ از روش نوار محدود نیمه تحلیلی برای حل کمانش موضعی ورق تحت فشار دومحوری استفاده کرد. روش او در فرمولبندی نوار محدود همان روش تقریبی چونگ و چونگ<sup>[۷]</sup> بود. که در آن جابجایی نوار در حین کمانش در جهت طولی به صورت تغییرات سینوسی و در جهت عرضی به صورت یک چند جمله‌ای درجه ۳ فرض شده است. اما این روش با وجود اینکه برای کمانش موضعی ارجاعی اعضاء جدار نازک مناسب است، برای کمانش جانبی و تغییر شکلی قابل استفاده نمی‌باشد. علت این امر فرض معمول کمانش موضعی است که همه خطوط اتصال بین اجزاء مسطح، پس از کمانش نیز کاملاً مستقیم باقی می‌مانند. تحلیل‌هایی که قادر به مدل کردن مودهای کمانش موضعی، تغییر شکلی و جانبی اعضاء جدار نازک مسطح باشند بر اساس یک روش نوار محدود دقیق توسط ویتریک، ویتریک و کرزن در سال ۱۹۶۸، ویلیامز و ویتریک در سال ۱۹۶۹ و یک روش نیمه تحلیلی در ادامه کار پرزمینسکی، توسط پلانک و ویتریک در سال ۱۹۷۴ و هنکاک در سال ۱۹۷۸ توسعه یافت<sup>[۳]</sup>.

روش نوار محدود نیمه تحلیلی توسط برادفورد<sup>[۸]</sup> در سال ۱۹۹۰، ازهرب و برادفورد<sup>[۹]</sup> در سال ۱۹۹۱ و ۱۹۹۴ برای تحلیل کمانش موضعی توسعه یافت.

### ۱-۲-۳-روش‌های عددی تحلیل کمانش ورق‌های استوانه‌ای

از انواع ورق‌های نازک می‌توان به ورق‌های استوانه‌ای شکل اشاره کرد که دارای کاربرد فراوانی در صنایع امروزی می‌باشند. عمدت‌ترین تفاوت ورق‌های استوانه‌ای شکل با ورق‌های مستوی، فرم هندسی این نوع ورق‌ها می‌باشد. مطالعات فراوانی بر روی رفتار ورق‌های استوانه‌ای و مخروطی شکل با روش‌های مختلف از جمله روش نوار محدود انجام شده است. اکثر تحقیقات با استفاده از المان بندی ورق‌های منحنی در امتداد طولی به‌وسیله ورق‌های مستوی بوده است. برای بدست آوردن نتایج قابل قبول برای این نوع از سازه‌ها استفاده از تعداد زیادی از المان‌های مستطیلی برای بدست آوردن شکل تقریبی سازه نیاز می‌باشد. این روش به‌دلیل به‌وجود آمدن تعداد زیاد المان و به‌تیغ آن حجم زیاد ماتریس‌های سختی و هندسی، روش مناسبی برای حل این ورق‌ها نمی‌باشد. چونگ و چونگ [۱۰] در مطالعه خود رفتار ورق‌های منحنی شکل را با استفاده از توابع شکل مربوط به جابجایی‌های ورق‌های مستوی شکل بدست آورده‌اند. در شکل ۱-۲ نحوه المان‌بندی این ورق‌ها به‌وسیله ورق‌های مستوی نشان داده شده است.



شکل ۱-۲: المان‌بندی ورق منحنی شکل به‌وسیله ورق‌های مستطیلی صاف

میر و چونگ [۱۱] در دو کار جدآگانه کمانش ورق پل‌های جعبه‌ای منحنی شکل با تکیه‌گاه‌های ساده در لبه‌های پل را حل کرده‌اند. این دو تغییرات مولفه جابجایی در امتداد محیطی را به صورت هارمونیک، تغییرات در امتداد طولی را به صورت خطی و تغییرات مولفه عمود بر صفحه را به صورت چند جمله‌ای درجه سوم در نظر گرفته‌اند. داو [۱۲] روش تقریبی نوار محدود را بر پایه تئوری کلاسیک ورق<sup>۱</sup> برای حل استاتیکی ورق‌های منحنی شکل ایزوتروپ ارائه کرد. در سال‌های اخیر مطالعات فراوانی بر روی این نوع از ورق‌ها انجام شده است که به عنوان مثال می‌توان به مطالعات مگنوکی و همکاران [۱۳] بر روی ورق‌های استوانه‌ای با ۳ لبه تکیه‌گاه ساده

و یک لبه آزاد اشاره کرد. همچنین به دلیل کاربرد فراوان ورق‌های منحنی در سازه‌های هوایی و فضائی، سازمان هو-فضای آمریکا (*NASA*) [۱۴] تحقیقات گسترده بر روی کمانش ورق‌های منحنی شکل تحت تاثیر نیروهای طولی و جانبی انجام داده است.

١-٣-اهداف تحقيق حاضر

همان طور که در قسمت های قبلی اشاره شده است ورق های طولی به مقدار قابل توجهی در صنایع هایی و کشتی سازی و سایر موارد مورد استفاده قرار می گیرند. این سازه ها را با استفاده از ورق های دراز و نازک (صفا و یا منحنی) که در امتداد طولی نسبت به هم مقید می باشند، می توان ساخت. برای استفاده بهینه از این نوع سازه ها علاوه بر مسائل مربوط به مقاومت مصالح اجزاء تشکیل دهنده سازه ها، مسئله پایداری سازه ها نیز باید مد نظر قرار بگیرد. در این پایان نامه در ابتدا به بررسی تعیین نیروی کمانشی ورق های منحنی شکل به روش دقیق اشاره می شود. در این روش ورق با تکیه گاه های مفصلی تحت بررسی قرار می گیرد. با بررسی موضوع کمانش ورق های منحنی شکل به روش نوار محدود و با درنظر گرفتن توابع شکل مثلثاتی و چند جمله ای برای جابجایی های ورق در جهات طولی و عرضی و تعیین ضرایب کمانش این ورق ها، برای حالت های مختلف بارگذاری و همچنین تکیه گاه های مختلف به این مهم می توان رسید که حل این مسائل با استفاده از روش های عددی تا حدود بسیار زیاد در وقت و همچنین حجم عملیات محاسباتی صرفه جوئی می کند. همچنین تاثیرات ابعاد ورق ها بر روی مقدار ضریب کمانش ورق ها مورد بررسی قرار گرفته است که در بخش های بعدی به تفصیل مورد بررسی قرار خواهد گرفت.

## ۱-۲-مقدمه

در این فصل ابتدا روابط تنش-کرنش ورق‌ها و روابط انرژی مربوط به تغییرشکل ورق‌ها بیان می‌گردد. سپس اشاره‌ای به جابجایی‌های حاصل از تغییر شکل ورق استوانه‌ای و ورق بریده شده از ورق استوانه‌ای در اثر نیروهای خارجی گردیده و با استفاده از معادلات دیفرانسیل مربوط به جابجایی‌ها، معادلات تعادل و همچنین معادلات مربوط به کمانش این نوع ورق‌ها بدست می‌آیند. با تعیین این معادلات و حل آنها می‌توان نیروهای کمانشی ورق‌های مذکور را بدست آورد. با مقایسه معادلات بدست آمده برای تعیین نیروی کمانشی ورق‌های منحنی شکل و معادلات بدست آمده برای ورق‌های مستوی می‌توان دریافت که ورق‌های منحنی به دلیل داشتن فرم خاص هندسی، دارای نیروی کمانشی بزرگتری نسبت به ورق‌های مستوی نظیر خود می‌باشند که در بخش‌های بعدی به تفصیل به این موضوع اشاره می‌شود.

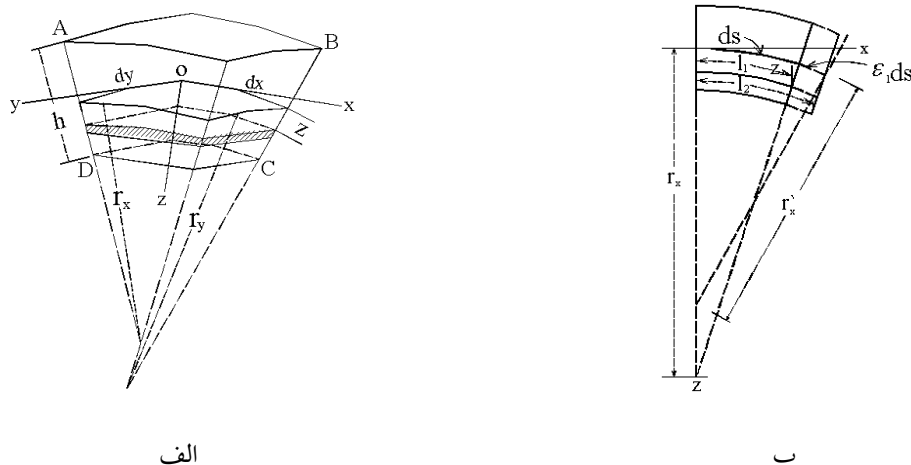
## فصل دوم

### معادلات کمانش ورق‌های استوانه‌ای و روابط انرژی

## ۲-۲- معادلات تغییر شکل و انرژی کرنشی یک المان پوسته‌ای:

### ۲-۲-۱- روابط مربوط به جابجایی و تغییر مکان

شکل ۲-۲ یک المان بینهایت کوچک ABCD از یک پوسته را نشان می‌دهد که توسط دو جفت از مقاطع عمود بر صفحه میانی در جهت انحنای اصلی صفحه جدا گردیده است. محورهای مختصات  $x$  و  $y$  در نقطه  $O$  به دو خط انحنای اصلی پوسته مماس می‌باشند و جهت  $z$  عمود بر صفحه میانی درنظر گرفته شده است. همان‌طوری که در شکل ۱-۲-الف نشان داده شده است  $r_x'$  و  $r_y'$  به ترتیب شعاع‌های انحنای اصلی در صفحات  $xz$  و  $yz$  می‌باشند. ضخامت پوسته یک مقدار ثابت می‌باشد که  $h$  نامگذاری شده است. در خمس پوسته، المان‌های خطی مثل  $BC$  و  $AD$  عمود بر صفحه میانی به صورت مستقیم و عمود بر فرم تغییر یافته صفحه میانی باقی می‌مانند.



شکل ۲-۲: یک المان بریده شده از یک ورق منحنی شکل

در طول خمس، صفحات جانبی المان ABCD فقط نسبت به خطوطی که از تلاقی صفحه میانی با صفحات جانبی به وجود می‌آیند دوران می‌کنند. اگر  $r_x'$  و  $r_y'$  مقادیر شعاع انحنای پس از تغییر شکل باشند، با توجه به شکل ۲-۱-ب کرنش یک لایه نازک با فاصله  $z$  از صفحه میانی که تنها از دوران صفحات جانبی ناشی می‌شود، به صورت زیر بیان می‌شود [۱۵].

$$\varepsilon_x = -\frac{z}{1-\frac{z}{r_x}} \left( \frac{1}{r_x'} - \frac{1}{r_x} \right) \quad \varepsilon_y = -\frac{z}{1-\frac{z}{r_y}} \left( \frac{1}{r_y'} - \frac{1}{r_y} \right) \quad (1-2)$$

در شکل ۲-۱-ب چرخش صفحات جانبی المان به علت کرنش صفحه میانی و با فرض حرکت موازی این صفحات نسبت به حالت اولیه خود نیز نشان داده شده است. کرنش  $\varepsilon_x$  لایه‌ای به فاصله  $z$  از صفحه میانی به صورت زیر نوشته می‌شود [۱۵].

$$\varepsilon_x = \frac{l_2 - l_1}{l_1} \quad l_1 = ds(1 - \frac{z}{r_x}) \quad l_2 = ds(1 + \varepsilon)(1 - \frac{z}{r_x}) \quad (۲-۲)$$

با جایگذاری مقادیر  $l_1$  و  $l_2$ ، کرنش  $\varepsilon_x$  را می‌توان به صورت زیرنوشت.

$$\varepsilon_x = \frac{\varepsilon_1}{1 - \frac{z}{r_x}} - \frac{z}{1 - \frac{z}{r_x}} \left[ \frac{1}{(1 - \varepsilon_1)r'_x} - \frac{1}{r_x} \right] \quad (۳-۲)$$

به همین ترتیب برای کرنش  $\varepsilon_y$  خواهیم داشت:

$$\varepsilon_y = \frac{\varepsilon_2}{1 - \frac{z}{r_y}} - \frac{z}{1 - \frac{z}{r_y}} \left[ \frac{1}{(1 - \varepsilon_2)r'_y} - \frac{1}{r_y} \right] \quad (۴-۲)$$

به طوری که  $\varepsilon_1$  و  $\varepsilon_2$  کرنش‌های صفحه میانی در جهات  $x$  و  $y$  می‌باشند.

در این بخش ضخامت پوسته در مقایسه با شاعع انحناء بسیار کوچک در نظر گرفته شده است. به همین دلیل از

مقادیر  $\frac{z}{r_y}$  و  $\frac{z}{r_x}$  می‌توان در برابر واحد صرف نظر کرد بنابراین:

$$\varepsilon_x = \varepsilon_1 - z \left( \frac{1}{r'_x} - \frac{1}{r_x} \right) = \varepsilon_1 - \chi_x z \quad \varepsilon_y = \varepsilon_2 - z \left( \frac{1}{r'_y} - \frac{1}{r_y} \right) = \varepsilon_2 - \chi_y z \quad (۵-۲)$$

در روابط فوق  $\chi_x$  و  $\chi_y$  تغییرات انحناء می‌باشند.

در حل این مسئله فرض شده است که هیچ گونه تنفس قائم به لایه مورد نظر وارد نمی‌شود ( $\sigma_z = 0$ ). همچنین با استفاده از روابط تنفس-کرنش، تنفس‌های درون صفحه‌ای در جهات  $x$  و  $y$  چنین بدست می‌آیند:

$$\sigma_x = \frac{E}{1 - \nu^2} [\varepsilon_1 + \nu \varepsilon_2 - z(\chi_x + \nu \chi_y)] \quad \sigma_y = \frac{E}{1 - \nu^2} [\varepsilon_2 + \nu \varepsilon_1 - z(\chi_y + \nu \chi_x)] \quad (۶-۲)$$

مدول الاستیسیته  $E$  و ضریب پواسون  $\nu$  می‌باشند.

در شکل ۲-۱-الف بر روی هر یک از وجوه المان ABCD نیروهای مربوطه را می‌توان با برآیند نیروهای عمودی پخش شده در مرکز وجه و لنگر خمی متمرکز جابجا کرد. با توجه به کوچک بودن ضخامت پوسته ورق، وجوه کناری پوسته ورق را می‌توان مستطیلی شکل فرض کرد. نیروهای برآیند و ممان‌های خمی وارد بر طول واحد را می‌توان به صورت زیر بیان کرد [۱۵]:

$$\left\{ \begin{array}{l} N_x = \int_{-\frac{h}{2}}^{\frac{h}{2}} \sigma_x dz = \frac{Eh}{1-\nu^2} (\varepsilon_1 + \nu \varepsilon_2) \\ N_y = \int_{-\frac{h}{2}}^{\frac{h}{2}} \sigma_y dz = \frac{Eh}{1-\nu^2} (\varepsilon_2 + \nu \varepsilon_1) \end{array} \right. \quad (7-2)$$

$$\left\{ \begin{array}{l} M_x = \int_{-\frac{h}{2}}^{\frac{h}{2}} z \sigma_x dz = -D(\chi_x + \nu \chi_y) \\ M_y = \int_{-\frac{h}{2}}^{\frac{h}{2}} z \sigma_y dz = -D(\chi_y + \nu \chi_x) \end{array} \right. \quad (8-2)$$

ضریب صلیبت خمی ورق بوده که از رابطه زیر بدست می‌آید:

$$D = \frac{E h^3}{12(1-\nu^2)} \quad (9-2)$$

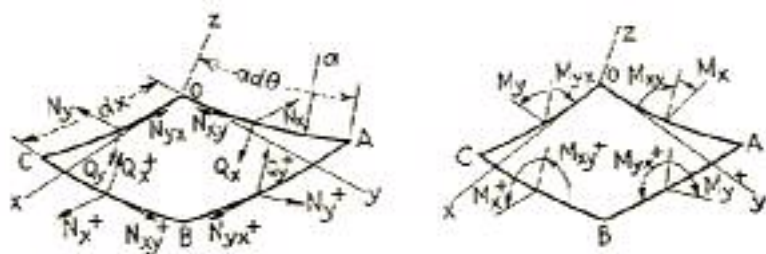
در صفحه عمود بر محور  $x$  نیروهای برشی برآیند و ممانهای پیچشی را می‌توان به صورت زیر بیان کرد.

$$Q_x = \int_{-\frac{h}{2}}^{\frac{h}{2}} \tau_{xz} dz \quad N_{xy} = \int_{-\frac{h}{2}}^{\frac{h}{2}} \tau_{xy} dz \quad M_{xy} = - \int_{-\frac{h}{2}}^{\frac{h}{2}} z \tau_{xy} dz \quad (10-2)$$

و  $\tau_{xz}$  مولفه‌های تنش برشی در صفحه عمود بر محور  $x$  می‌باشند. همچنین در صفحه عمود بر محور  $y$ ،  $\tau_{yz}$  نیروهای برآیند و ممانهای پیچشی را می‌توان به صورت زیر بیان کرد:

$$Q_y = \int_{-\frac{h}{2}}^{\frac{h}{2}} \tau_{yz} dz \quad N_{yx} = N_{xy} = \int_{-\frac{h}{2}}^{\frac{h}{2}} \tau_{xy} dz \quad M_{yx} = M_{xy} = - \int_{-\frac{h}{2}}^{\frac{h}{2}} z \tau_{xy} dz \quad (11-2)$$

نیروهای ارائه شده در روابط (10-2) و (11-2)، در شکل ۲-۲ نشان داده شده است.



شکل ۲-۲: شکل اولیه المان جدا شده از یک استوانه جدار نازک به همراه نیروهای وارده رابطه تنش برشی  $\tau_{xy}$  و پیچش المان ABCD نشان داده شده در شکل ۲-۱ را می توان به صورت زیر نوشت [۱۵].

$$\tau_{xy} = -2G z \gamma_{xy} \quad (12-2)$$

$$M_{xy} = D(1-\nu) \chi_{xy} \quad (13-2)$$

به طوری که به جای  $\chi_{xy}$  می توان از عبارت  $\frac{\partial^2 w}{\partial x \partial y} dx$  استفاده کرد. در المان ABCD در طول خمش پوسته،

چرخش لبه BC نسبت به OZ حول محور x می باشد. با اعمال پیچش، یک کرنش برشی  $\gamma$  نیز در صفحه میانی ورق به وجود می آید [۱۵] لذا داریم:

$$\tau_{xy} = (\gamma - 2z \chi_{xy}) G \quad (14-2)$$

بنابراین:

$$N_{xy} = \int_{-\frac{h}{2}}^{\frac{h}{2}} \tau_{xy} dz = \frac{\gamma h E}{2(1-\nu)} \quad M_{xy} = - \int_{-\frac{h}{2}}^{\frac{h}{2}} \tau_{xy} z dz = D(1-\nu) \chi_{xy} \quad (15-2)$$

بدین ترتیب فرض می شود که در طول خمش پوسته، المان های خطی عمود بر صفحه میانی مستقیم باقی مانده و عمود بر صفحه میانی تغییر شکل یافته می باشند. نیروهای  $N_x$  و  $N_y$  و ممان های  $M_x$  و  $M_y$  در روابط (۷-۲)، (۸-۲) و (۱۰-۲) را می توان به وسیله سه مولفه کرنش در صفحه میانی پوسته ( $\epsilon_x$  و  $\epsilon_y$  و  $\gamma$ ) و سه مولفه تغییرات انحناء و پیچش در صفحه میانی ( $\chi_x$  و  $\chi_y$  و  $\chi_{xy}$ ) بیان کرد.

۲-۲-۲- روابط مربوط به انرژی کرنشی المان پوسته‌ای

انرژی کرنشی ارجاعی یک جسم الاستیک برای یک حالت تنش کلی را می‌توان به صورت زیر بیان کرد

. [۱]

$$U = \frac{1}{2} \iiint_v (\sigma_x \epsilon_x + \sigma_y \epsilon_y + \sigma_z \epsilon_z + \tau_{xy} \gamma_{xy} + \tau_{xz} \gamma_{xz} - \tau_{yz} \gamma_{yz}) dx dy dz \quad (16-2)$$

انرژی کرنشی شامل دو قسمت می‌باشد:

۱- انرژی کرنشی ناشی از خممش

۲- انرژی کرنشی ناشی از کشیدگی صفحه میانی

انرژی کرنشی ناشی از خممش المان پوسته را می‌توان از روابط زیر بدست آورد [۱۵].

با فرض رفتار ارجاعی و صرف نظر کردن از تنش‌های راستای  $z$  (تنش مستوی)، روابط تنش-کرنش بیان شده در روابط (۶-۲) و (۱۴-۲) را می‌توان به صورت زیر بیان کرد:

$$\begin{Bmatrix} \sigma_x \\ \sigma_y \\ \tau_{xy} \end{Bmatrix} = \frac{Eh^3}{(1-\nu^2)} \begin{Bmatrix} 1 & \nu & 0 \\ \nu & 1 & 0 \\ 0 & 0 & \frac{(1-\nu)}{2} \end{Bmatrix} \begin{Bmatrix} \epsilon_x \\ \epsilon_y \\ \gamma_{xy} \end{Bmatrix} \rightarrow \{\sigma\} = [D]\{\epsilon\} \quad (17-2)$$

با جابجایی مقادیر  $\frac{\partial^2 w}{\partial x \partial y}$  و  $\frac{\partial^2 w}{\partial y^2}$  و  $\frac{\partial^2 w}{\partial x^2}$  به جای تغییرات انحنای  $\chi_x$  و  $\chi_y$  و  $\chi_{xy}$  بردار کرنش  $\{\epsilon\}$  را می‌توان

به صورت زیر نیز بیان کرد:

$$\begin{Bmatrix} \epsilon_x \\ \epsilon_y \\ \gamma_{xy} \end{Bmatrix} = \begin{Bmatrix} \epsilon_1 \\ \epsilon_2 \\ \gamma \end{Bmatrix} - z \begin{Bmatrix} \frac{\partial^2 w}{\partial x^2} \\ \frac{\partial^2 w}{\partial y^2} \\ 2 \frac{\partial^2 w}{\partial x \partial y} \end{Bmatrix} \quad (18-2)$$

با توجه به اینکه این مسئله با فرضیات تئوری تغییر شکل‌های کوچک ورق‌های نازک حل می‌شود، مقادیر  $\sigma_z$  و  $\gamma_{xz}$  و  $\gamma_{yz}$  برابر صفر می‌باشند. با قرار دادن مقادیر  $\epsilon_x$  و  $\epsilon_y$  و  $\gamma_{xy}$  در رابطه (۱۶-۲) و با انتگرال‌گیری و